

FACULDADE DE CIÊNCIAS DA
UNIVERSIDADE DE LISBOA

SISTEMAS DINÂMICOS

PROJECTO FINAL

Dinâmica do Mapa Discreto do Gato de Arnold

Autor:

Cláudio SANTOS

Nº 42208

19 de Junho de 2017



Ciências
ULisboa

Resumo

Um sistema dinâmico discreto conhecido como o mapa discreto do gato de Arnold é dado por:

$$\begin{bmatrix} x_{t+1} \\ y_{t+1} \end{bmatrix} = \begin{bmatrix} 1 & 1 \\ 1 & 2 \end{bmatrix} \begin{bmatrix} x_t \\ y_t \end{bmatrix} \pmod{N},$$

que actua numa rede quadrada dois dimensional de tamanho $N \times N$. A característica fundamental deste mapa é a propriedade de quando uma rede $N \times N$ é uma imagem cujos os pixéis têm coordenadas (x, y) , o mapa baralha a imagem a cada iteração. Depois de um número finito de iterações, a imagem é recuperada à sua forma e ordem originais.

O objectivo deste projecto é explorar as propriedades dinâmicas do mapa discreto do gato de Arnold, um mapa simples que exhibe um elevado nível de caos. São apresentados resultados numéricos sobre os períodos mínimos, o comprimento de período e as órbitas disjuntas do mapa discreto do gato de Arnold. Aborda-se também generalizações do mapa do gato de Arnold e no final são apresentados algumas aplicações do mapa discreto do gato de Arnold.

Conteúdo

1	Introdução	3
2	Definição do Mapa do Gato de Arnold	5
3	Conexão entre o Mapa do Gato de Arnold e a sequência de Fibonnaci	8
4	Propriedades do Mapa do Gato de Arnold	10
4.1	Comprimento do periodo	11
4.2	Órbitas disjuntas	12
4.3	Maiores dimensões do mapa	13
4.4	Mapas do gato generalizados com determinante positivo unitário	14
4.5	Miniaturas e Fantasmas	14
5	Aplicações do Mapa do Gato de Arnold	16
5.1	Encriptação de imagens e texto	16
5.2	Esteganografia, marca d'água e detecção de tratamento de imagem	17
6	Conclusão	18
	Referências	19

1 Introdução

Considere um recipiente com uma determinada quantidade de café. De seguida, adicione a mesma quantidade de leite e misture ambos sempre com o mesmo movimento. Certamente ninguém pensaria que o café e o leite vão separar-se e aparecer nos seus estados originais após um certo número de misturas. E também não ia passar pela cabeça que nalgum ponto intermédio no tempo ter-se-ia subitamente uma mistura de café e leite como de um tabuleiro de xadrez se tratasse. Contudo é esta a consequência do *Teorema de Recorrência de Poincaré*: que alguns destes objectos matemáticos denominados de *sistemas dinâmicos*, após um tempo suficientemente longo mas finito, regressam a um estado muito próximo do seu estado inicial.

O mapa do gato de Arnold é provalvemente a transformação mais simples que exhibe esta propriedade bem como um elevado nível de caos. O mapa deve o seu nome a Vladimir I. Arnold que utilizou a imagem de um gato antes e depois da aplicação do mapa. Este mapa serviu como guia no desenvolvimento da teoria de sistemas dinâmicos para ilustrar novos conceitos como entropia (Sinai 1959) e partições de Markov (Adler & Weiss 1967).

Uma imagem é composta por unidades discretas chamadas pixéis. Um pixel é um pequeno quadrado que representa um código de cor e quando se toma em conjunto todos os pixéis, forma-se um mosaico que é a imagem. A imagem é uma matriz $M \times N$, onde M representa o número de linhas dos pixéis e N o número de colunas dos pixéis. Cada entrada da matriz é um valor numérico que representa uma dada cor. Como exemplo considere a imagem 212×212 abaixo:

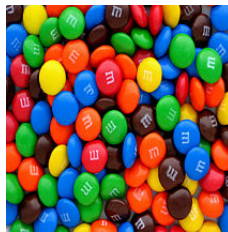


Figura 1.1: Fotografia de M&M's.

Seja a imagem a matriz X e pode examinar-se as entradas numéricas de X que representam um certo código de cor.

$$X = \begin{bmatrix} 139 & 70 & 77 & \cdots & 255 & 245 & 239 \\ 100 & 74 & 74 & \cdots & 254 & 253 & 251 \\ 98 & 159 & 156 & \cdots & 253 & 255 & 255 \\ \vdots & \vdots & \vdots & \ddots & \vdots & \vdots & \vdots \\ 193 & 175 & 161 & \cdots & 220 & 220 & 220 \\ 219 & 181 & 156 & \cdots & 220 & 219 & 220 \\ 219 & 176 & 156 & \cdots & 218 & 219 & 219 \end{bmatrix}$$

Uma iteração do mapa do gato de Arnold é o efeito da multiplicação de todas as coordenadas do pixels pela matriz $\begin{bmatrix} 1 & 1 \\ 1 & 2 \end{bmatrix}$. Depois todos os valores são tomados com módulo igual ao lado da imagem. A imagem é por assim dizer esticada e depois dobrada de forma a caber nas fronteiras do quadrado original. Contudo, se iterado vezes suficiente, como se por magia, a imagem original reaparece.

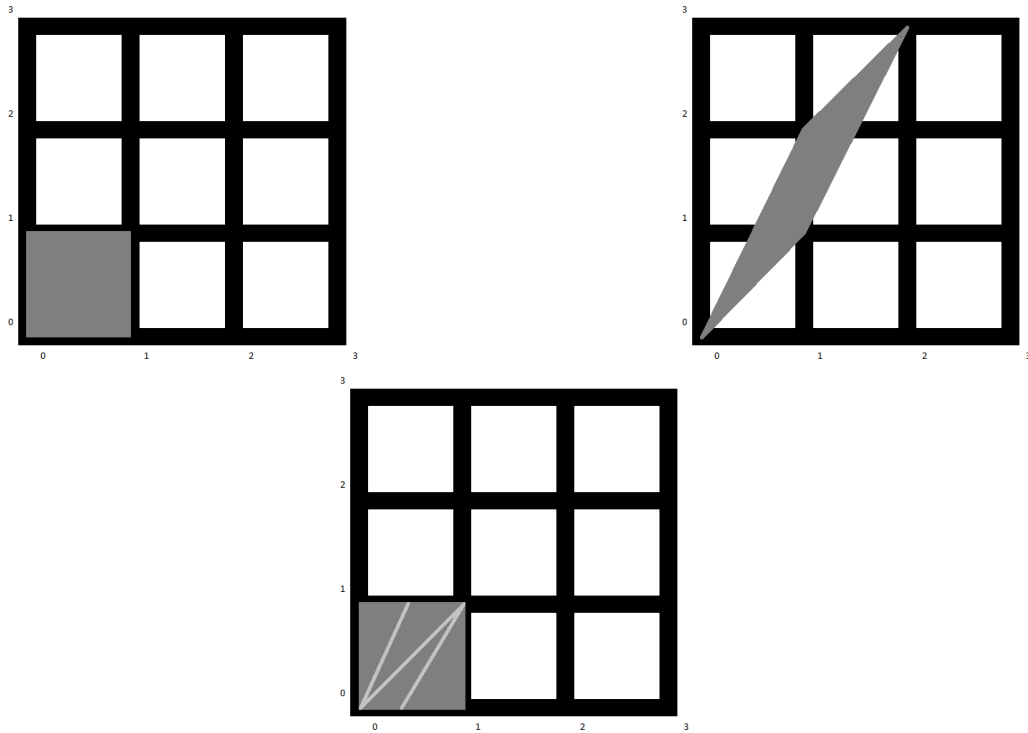


Figura 1.2: lustração geométrica de uma iteração do mapa do gato de Arnold.

2 Definição do Mapa do Gato de Arnold

O mapa do gato de Arnold é o mapeamento num toro dois dimensional. O toro \mathbb{T}^2 , que topologicamente tem a forma de um *donut*, pode ser definido como os pontos no plano \mathbb{R}^2 módulo translações inteiras em \mathbb{Z}^2 . Isto resulta na representação de \mathbb{T}^2 como a família de espaços $\mathbb{R}^2/\mathbb{Z}^2 := \{x + \mathbb{Z}^2 : x \in \mathbb{R}^2\}$. O mapa do gato é agora um mapeamento $\Gamma_{cat} : \mathbb{T}^2 \rightarrow \mathbb{T}^2$ definido por $x \mapsto Ax \pmod{\mathbb{Z}^2}$, onde:

$$x = \begin{bmatrix} x_1 \\ x_2 \end{bmatrix}, \quad A = \begin{bmatrix} a & b \\ c & d \end{bmatrix},$$

desde que $a, b, c, d \in \mathbb{Z}$ sejam escolhidos tal que:

1. $|\det(A)| = 1$;
2. A tenha valores próprios $|\lambda_{\pm}| \neq 1$

A propriedade (1.) implica que o mapa preserva a área e a orientação (como observado na Figura 1.2) e a propriedade (2.) implica que os valores próprios são reais e distintos. Mapas com estas propriedades são conhecidos na literatura como *automorfismo torais*.

A matriz A estudada neste projecto é

$$A = \begin{bmatrix} 1 & 1 \\ 1 & 2 \end{bmatrix}$$

e por isso o sistema dinâmico discreto induzido pelo mapa do gato de Arnold é

$$\Gamma_{cat} \left(\begin{bmatrix} x_{t+1} \\ y_{t+1} \end{bmatrix} \right) = \begin{bmatrix} 1 & 1 \\ 1 & 2 \end{bmatrix} \begin{bmatrix} x_t \\ y_t \end{bmatrix} \pmod{1}$$

Para uma imagem com coordenadas racionais $0 \leq \frac{x}{N}, \frac{y}{N} < 1$ o escalamento da imagem torna possível trabalhar com coordenadas inteiras $0 \leq x, y < N - 1$. Isto obriga a usar módulo N em vez de módulo 1 e define-se o mapa discreto do gato de Arnold $\Gamma_A : \mathbb{Z}_N \times \mathbb{Z}_N \rightarrow \mathbb{Z}_N \times \mathbb{Z}_N$ que é

$$\Gamma_A \left(\begin{bmatrix} x_{t+1} \\ y_{t+1} \end{bmatrix} \right) = \begin{bmatrix} 1 & 1 \\ 1 & 2 \end{bmatrix} \begin{bmatrix} x_t \\ y_t \end{bmatrix} \pmod{N}$$

Seja Φ a transição das coordenadas racionais no intervalo $[0, 1[$ para as coordenadas inteiras $(0, 1, 2, \dots, N - 1)$, tem-se o seguinte diagrama comutativo

$$\begin{array}{ccc} \mathbb{T}^2 & \xrightarrow{\Gamma_{cat}} & \mathbb{T}^2 \\ \Phi \downarrow & & \downarrow \Phi \\ \mathbb{Z}_N \times \mathbb{Z}_N & \xrightarrow{\Gamma_A} & \mathbb{Z}_N \times \mathbb{Z}_N \end{array}$$

O *polinómio característico* da matriz A é

$$\lambda^2 - \text{Tr}(A)\lambda + \det(A) = \lambda^2 - 3\lambda + 1$$

e os dois valores próprios da matriz A (as raízes do polinómio característico) são $\lambda_1 = \frac{3+\sqrt{5}}{2} \approx 2,61803$ e $\lambda_2 = \frac{3-\sqrt{5}}{2} \approx 0,38167$. Como os dois valores próprios de A são diferentes da unidade, o mapa $\Gamma_{cat} : \mathbb{T}^2 \rightarrow \mathbb{T}^2$ é um *automorfismo toral hiperbólico*. Por outro lado os dois vectores próprios de A são ortogonais pois a matriz é simétrica.

Para mostrar que o sistema dinâmico discreto referente ao mapa do gato de Arnold segue o Teorema de Recorrência de Poincaré e, por isso, ser periódico leva à seguintes definição.

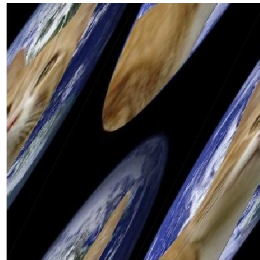
Definição 2.1. O *período mínimo* do mapa discreto do gato de Arnold é o inteiro positivo n mais pequeno tal que $A^n = \begin{bmatrix} 1 & 0 \\ 0 & 1 \end{bmatrix} \pmod{N}$ (matriz identidade). Define-se por $\Pi_A(N)$ o período mínimo do mapa discreto do gato de Arnold módulo N .

Exemplo 2.2. Da Figura 2.3 conclui-se que $\Pi_A(332) = 84$, ou seja não existe um inteiro positivo menor do que $n = 84$ tal que a imagem original reaparece.

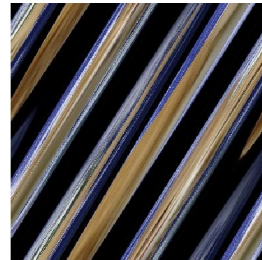
Notar que com apenas $n = 6$ (2.3e iterações a imagem é uma *chuva* de pixéis sem quaisquer características que a relacionem à imagem original. Daí uma das aplicações do mapa do gato de Arnold ser a encriptação (ver secção 5). Os casos 2.3f, 2.3g e 2.3h, conhecidos como miniaturas e fantasmas, são analisados na secção 4.5.



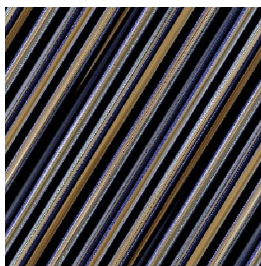
(a) $n = 0$



(b) $n = 1$



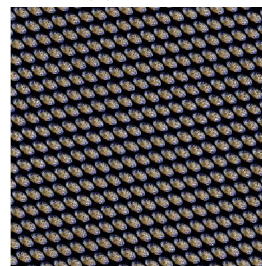
(c) $n = 2$



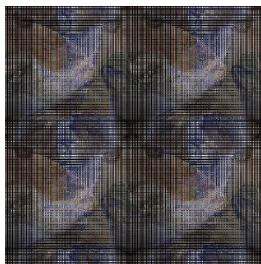
(d) $n = 3$



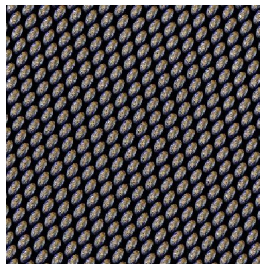
(e) $n = 6$



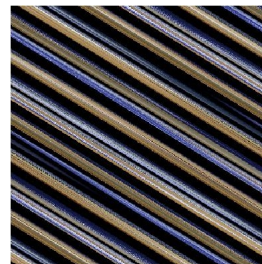
(f) $n = 23$



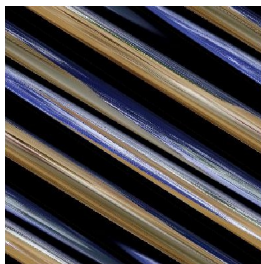
(g) $n = 42$



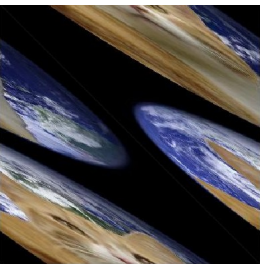
(h) $n = 61$



(i) $n = 81$



(j) $n = 82$



(k) $n = 83$



(l) $n = 84$

Figura 2.3: O efeito do mapa do gato de Arnold numa imagem de 332×332 pixels após n iterações.

3 Conexão entre o Mapa do Gato de Arnold e a sequência de Fibonnaci

Definição 3.1. Seja n o número da *sequência de Fibonacci* definido pela relação de recorrência $F_n = F_{n-1} + F_{n-2}$, com $F_1 = 1$ e $F_0 = 0$.

Os primeiros números de Fibonacci são 0, 1, 1, 2, 3, 5, 8, 13, 21, 34, 55, 89, ...

A sequência de Fibonacci pode ser encontrada em vários contextos desde o triângulo de Pascal a situações reais, como a forma de uma concha ou a reprodução de coelhos.

Potências da matriz $F = \begin{bmatrix} 0 & 1 \\ 1 & 1 \end{bmatrix} = \begin{bmatrix} F_0 & F_1 \\ F_1 & F_2 \end{bmatrix}$ geram números da sequência de Fibonacci

$$F^n = \begin{bmatrix} F_{n-1} & F_n \\ F_n & F_{n+1} \end{bmatrix}$$

Muitas vezes a matriz F é chamada do *mapa dourado* devido a relação dos números de Fibonacci com o número de ouro. O número de ouro é o limite da razão de dois números sucessivos da sequência de Fibonacci e também é igual ao maior valor próprio de F .

$$\lim_{n \rightarrow \infty} \frac{F_{n+1}}{F_n} = \phi = \frac{1 + \sqrt{5}}{2} \approx 1,61803 \dots$$

Como F e A têm a relação

$$F^2 = \begin{bmatrix} 0 & 1 \\ 1 & 1 \end{bmatrix} \begin{bmatrix} 0 & 1 \\ 1 & 1 \end{bmatrix} = \begin{bmatrix} 1 & 1 \\ 1 & 2 \end{bmatrix} = A$$

os números de Fibonacci também aparecem quando se toma potências da matrix A

$$A^n = \begin{bmatrix} 1 & 1 \\ 1 & 2 \end{bmatrix}^n = \begin{bmatrix} F_{2n-1} & F_{2n} \\ F_{2n} & F_{2n+1} \end{bmatrix}$$

com as primeiras potências de A

$$A^2 = \begin{bmatrix} 2 & 3 \\ 3 & 5 \end{bmatrix}, \quad A^3 = \begin{bmatrix} 5 & 8 \\ 8 & 13 \end{bmatrix}, \quad A^4 = \begin{bmatrix} 13 & 21 \\ 21 & 34 \end{bmatrix}, \quad A^5 = \begin{bmatrix} 34 & 55 \\ 55 & 89 \end{bmatrix}, \quad \dots$$

Da definição 2.1 de período mínimo do mapa do gato de Arnold, está-se à procura do menor inteiro n tal que $A^n = \begin{bmatrix} 1 & 0 \\ 0 & 1 \end{bmatrix} \pmod{N}$. Isto significa que

n satisfaz as condições $F_{2n} \equiv 0 \pmod{N}$ e $F_{2n-1} \equiv 1 \pmod{N}$. Por isso o periodo do mapa do gato de Arnold tem uma conexão directa com o *periodo de Pisano* dos números de Fibonacci.

O periodo de Pisano n , escrito $\Pi(n)$, é o periodo no qual a sequência de números de Fibonacci tomada módulo n se repete.

Exemplo 3.2. A sequência de Fibonacci F tomada módulo 3 é

$$0, 1, 1, 2, 0, 2, 2, 1, 0, 1, 1, 2, 0, 2, 2, 1, 0, 1, 1, 2, 0, 2, 2, 1, \dots$$

A sequência tem periodo 8, por isso $\Pi(3) = 8$.

Da relação definida entre as matrizes A e F segue que o periodo do mapa do gato de Arnold é exactamente metade do periodo de Pisano para qualquer $N \geq 3$.

4 Propriedades do Mapa do Gato de Arnold

Como ilustrado na Fig. 4.1, não existe uma conexão óbvia entre os períodos mínimos do mapa do gato de Arnold, e por isso o período de Pisano e o número N .

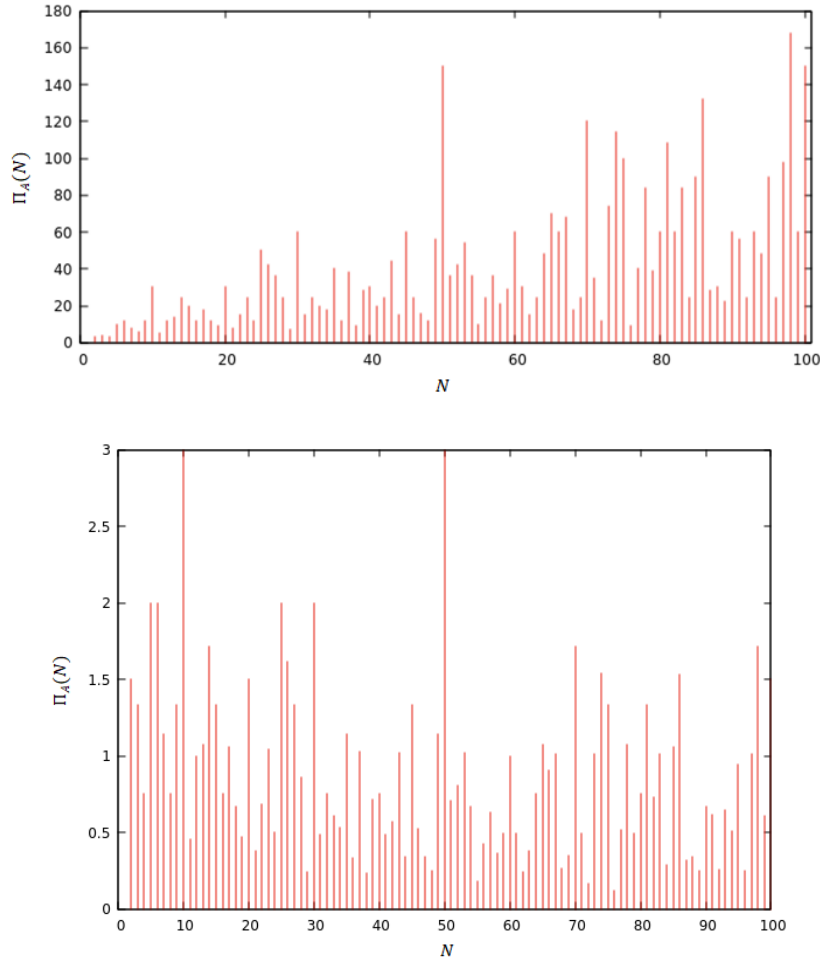


Figura 4.1: Os períodos mínimos $\Pi_A(N)$ do mapa do gato de Arnold e a razão $\frac{\Pi_A(N)}{N}$ para o intervalo $2 \leq N \leq 100$.

É importante referir que não é conhecido uma expressão em forma fechada de $\Pi(N)$ válida para todos o N . Por isso, recorreu-se a cálculos numéricos para calcular o período mínimo.

4.1 Comprimento do periodo

Analisando apenas os periodos mínimos de números primos p entre $5 \leq p \leq 100$, observa-se o padrão ilustrado na Fig. 4.1.1

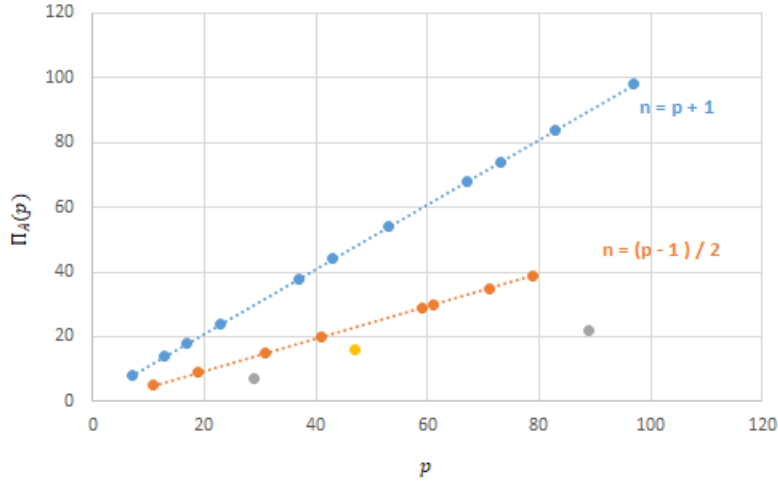


Figura 4.1.1: Os periodos mínimos do mapa do gato de Arnold para números primos no intervalo $5 < p < 100$.

A maior fatia dos números primos (87, 5%) inserem-se ou na linha $\Pi_A(p) = p + 1$ ou em $\Pi_A(p) = \frac{p-1}{2}$. Os restantes são conhecidos como números primos *curtos* por o periodo mínimo ser inferior que as fórmulas referidas. O caso $p = 5$ é uma exceção pois $\Pi_A(5) = 10$. O periodo $\Pi_A(N)$ pode ser calculado devido à factorização de primos de qualquer número composto N usando o seguinte teorema, demonstrado em [4].

Teorema 4.1.2. Se N tiver factorização primo $N = p_1^{\alpha_1} \cdot p_2^{\alpha_2} \cdot \dots \cdot p_k^{\alpha_k}$, então $\Pi_A(N) = mmc(\Pi_A(p_1^{\alpha_1}), \Pi_A(p_2^{\alpha_2}), \dots, \Pi_A(p_k^{\alpha_k}))$, onde *mmc* é o *mínimo múltiplo comum*.

Exemplo 4.1.3. $\Pi_A(21) = mmc(\Pi_A(3), \Pi_A(7)) = mmc(4, 8) = 8$

Notar que $p = 2$ é o único primo onde $\Pi_A(p) = \Pi_A(N^2)$. Para todos os outros primos acredita-se que $\Pi_A(p^n) = p^{n-1} \Pi_A(p)$.

Exemplo 4.1.4. Para números compostos N têm-se casos onde $\Pi_A(N^2) = \Pi_A(N)$, como por exemplo $\Pi_A(6) = \Pi_A(36) = 12$ e $\Pi_A(12) = \Pi_A(144) = 12$.

O limite superior para o período mínimo do mapa do gato de Arnold é $3N$. Como mostra [5], em particular para $k = 1, 2, 3, \dots$ tem-se:

$$\begin{cases} \Pi_A(N) = 3N, & \text{se } N = 2 \cdot 5^k \\ \Pi_A(N) = 2N, & \text{se } N = 5^k \text{ ou } N = 6 \cdot 5^k \\ \Pi_A(N) \leq \frac{12}{7}N & \text{para qualquer outro } N \end{cases}$$

4.2 Órbitas disjuntas

Além da periodicidade podem-se definir outras propriedades distintas e válidas para sistemas dinâmicos discretos.

Definição 4.2.1. Seja a *órbita* de um ponto definido como o conjunto de coordenadas que um ponto individual assume perante iterações do mapa do gato de Arnold, até retornar ao seu valor inicial. O número de coordenadas únicas na órbita recebe o nome de *comprimento de período*. Claro que todos os pontos que pertencem a uma e mesma órbita têm o mesmo comprimento de período.

Definição 4.2.2. Para um sistema dinâmico discreto todos os pontos com comprimento de órbita 1 recebem o nome de *pontos fixos*. Pontos com comprimento de órbita maiores que 1 são chamados de pontos *não-triviais*.

Exemplo 4.2.3. Para o mapa discreto do gato de Arnold $\Gamma_A : \mathbb{Z}_N \times \mathbb{Z}_N$, o ponto com coordenadas $(0, 0)$ é um ponto trivial. Todos os outros pontos são não-triviais pois são periódicos e têm um comprimento de órbita maior do que 1.

Exemplo 4.2.4. A órbita, com comprimento 12, do ponto $(1, 1)$ para o mapa do gato de Arnold com $N = 6$ consiste nas coordenadas $\{(1, 1), (2, 3), (5, 2), (1, 3), (4, 1), (5, 0), (5, 5), (4, 3), (1, 4), (5, 3), (2, 5), (1, 0)\}$.

Como se sabe que $(0, 0)$ é um ponto trivial e que o limite superior para o mapa do gato de Arnold é $3N$, para $N > 3$, nenhum ponto pode ter uma órbita que inclua todos os $N^2 - 1$ pontos não triviais. Daqui é possível concluir que vão existir órbitas disjuntas e o comprimento destas órbitas é ou igual ao período mínimo ou um divisor deste. Por outras palavras, uma imagem não é densa nela própria sobre o mapa discreto do gato de Arnold.

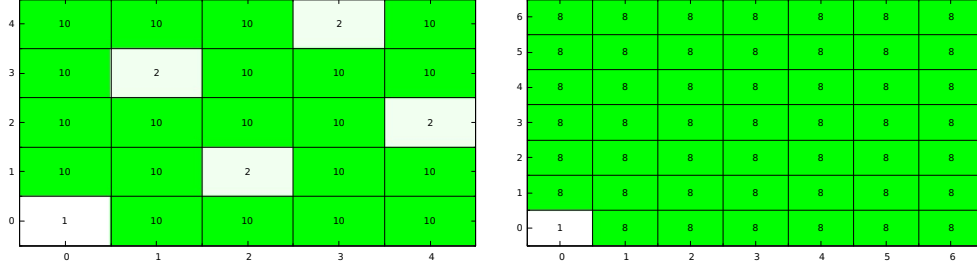


Figura 4.2.5: Comprimento de órbitas do mapa do gato de Arnold para $p = 5$ e $p = 7$.

Quando N é um número primo p , excepto para $p = 5$, todos os pontos não triviais têm o mesmo comprimento de órbita. Quando $p = 5$ o comprimento de órbita dos pontos não triviais é ou $\Pi(5) = 10$ ou $\frac{\Pi(5)}{5} = 2$.

Números compostos vão ter mais que um comprimento de período para pontos não-triviais. O maior número de órbitas até $N = 500$ ocorre para $N = 390$ e as 17 diferentes comprimentos de órbita são 2, 3, 4, 6, 10, 12, 14, 20, 28, 30, 42, 60, 70, 84, 140, 210 e 420.

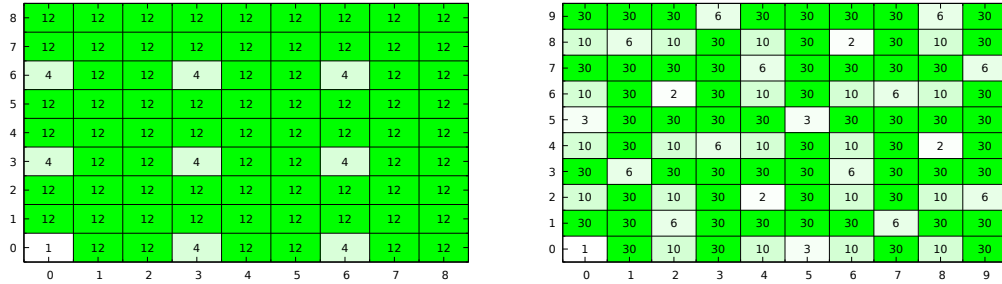


Figura 4.2.6: Comprimento de órbitas do mapa do gato de Arnold para $N = 9$ e $N = 10$.

4.3 Maiores dimensões do mapa

É possível estender o mapa do gato a maiores dimensões, fixando cada coordenada x, y e z e depois multiplicando os resultados para obter uma matriz três dimensional do mapa do gato A_{3D} .

$$\begin{bmatrix} 1 & 0 & 0 \\ 0 & 1 & 1 \\ 0 & 1 & 2 \end{bmatrix} \begin{bmatrix} 1 & 0 & 1 \\ 0 & 1 & 0 \\ 1 & 0 & 2 \end{bmatrix} \begin{bmatrix} 1 & 1 & 0 \\ 1 & 2 & 0 \\ 0 & 0 & 1 \end{bmatrix} = \begin{bmatrix} 1 & 1 & 1 \\ 2 & 3 & 2 \\ 3 & 4 & 4 \end{bmatrix} = A_{3D}$$

Devido às propriedades não comutativas da multiplicação de matrizes, a matriz A_{3D} não é única mas todos os mapas A_{3D} têm os mesmos valores próprios $\lambda_1 = 7, 18$, $\lambda_2 = 0, 57$ e $\lambda_3 = 0, 24$. Por outro lado, os períodos mínimos do mapa do gato três dimensional apresentam um padrão completamente diferente que $\Pi_A(N)$.

O mapa do gato quatro dimensional seria agora calculado usando A_{3D} e repetindo o mesmo procedimento com uma coordenada adicional. E assim sucessivamente até uma dimensão arbitrária. A razão da escolha de um mapa do gato de dimensão maior é o comportamento que maior valor próprio toma. O mapa do gato de maior dimensão é considerado *mais caótico* pela medição da entropia topológica $\ln |\lambda_{max}|$. Esta propriedade é preferida num contexto criptográfico e, por exemplo, o maior valor próprio de A_{8D} é 1090.

4.4 Mapas do gato generalizados com determinante positivo unitário

Os mapas de gato generalizados, com determinante 1, de tipo 1 e 2 podem ser definidos como

$$\Gamma_{G_1} \left(\begin{bmatrix} x_{t+1} \\ y_{t+1} \end{bmatrix} \right) = \begin{bmatrix} 1 & a \\ a & a^2 + 1 \end{bmatrix} \begin{bmatrix} x_t \\ y_t \end{bmatrix} \pmod{N}$$

e

$$\Gamma_{A_2} \left(\begin{bmatrix} x_{t+1} \\ y_{t+1} \end{bmatrix} \right) = \begin{bmatrix} 1 & a \\ b & ab + 1 \end{bmatrix} \begin{bmatrix} x_t \\ y_t \end{bmatrix} \pmod{N}$$

Estas famílias do mapa do gato ainda não foram muito estudadas mas acredita-se que apresentam também uma distribuição periódica.

4.5 Miniaturas e Fantasma

Por vezes antes de se obter o período mínimo observa-se que a imagem parece menos caótica do que se esperava. Estes fenómenos recebem o nome de *miniaturas* e *fantasmas* e têm as seguintes propriedades

- Miniaturas podem acontecer quando os valores absolutos de todos os elementos de $A^t \pmod{N}$ são pequenos quando comparados a N .

$$\min|a_{i,j}, N - a_{i,j}|, \quad \text{para } i, j = 1, 2$$

- A orientação das miniaturas vai depender dos vectores coluna de $A^t \pmod{N}$.
- Fantasmas têm mais tendência a aparecer quando N é um número composto do que quando é um número primo.
- O número de fantasmas e respectivos declives depende dos vectores, com menor valor absoluto, que são mapeados neles próprios por $A^t \pmod{N}$.

As figuras 2.3f e 2.3h são exemplos numéricos de miniaturas para uma imagem 322×322 que ocorrem após 23 e 61 iterações, respectivamente. Por outro lado a figura 2.3g é o exemplo de um fantasma. Contudo não são exemplos matematicamente perfeitos de miniaturas e fantasmas pois verificando as propriedades como indicado em [1], não se obtém resultados análogos.

5 Aplicações do Mapa do Gato de Arnold

Apesar de o conceito do mapa do gato ser abstracto, pode-se pensar nalgumas aplicações

5.1 Encriptação de imagens e texto

Um das maneiras mais simples de usar o mapa do gato num contexto criptográfico é trocar a informação da cor de um pixel com uma letra do alfabeto. Após um certo número de iterações é produzido um texto cifrado onde as letras aparentemente desordenadas tem uma ordem subjacente e, por isso, o proprietário da chave pode recuperar o texto original. Ao usar um mapa do gato generalizado onde os elementos da matriz são parte da chave complica a cripto-análise ainda mais. A figura 5.1.1 ilustra como a frase *"SISTEMAS DINAMICOS É FIXE"* transforma-se em *"XMT OAF-NIEÉDEIASSI SSCM"* com apenas 2 iterações do mapa do gato de Arnold.

S	I	S	T	E
M	A	S		D
I	N	A	M	I
C	O	S		É
	F	I	X	E

	X	M	T	
O	A	F	N	I
E	É	D	E	I
A	S	S	S	I
	S	S	C	M

Figura 5.1.1: O texto original e o texto cifrado após 2 iterações do mapa do gato de Arnold.

5.2 Esteganografia, marca d'água e detecção de tratamento de imagem

Esteganografia é a arte de esconder uma mensagem dentro de outra mensagem. Isto pode ser também aplicado a imagens e é usado para inserir uma marca d'água ou detectar se uma imagem foi alterada de uma maneira não autorizada (detecção de tratamento de imagem).

O método consiste em utilizar que um conjunto de pixels vizinhos é espalhado ao longo de uma imagem $N \times N$ após k iterações do mapa do gato de Arnold. Os pixels da marca d'água são inseridos na imagem que queremos marcar e é também espalhada pela imagem toda. O algoritmo de detecção de tratamento de imagem consiste em iterar a imagem $\Pi(N) - k$ vezes. A imagem aparece caótica mas a marca d'água aparece intacta se a imagem não foi alterada.

6 Conclusão

Este projecto consistiu em investigar algumas propriedades, e especialmente o período módulo N , de automorfismos torais hiperbólicos dois dimensional, fortemente ligados à sequência de Fibonacci, que recebem o nome de mapa do gato de Arnold. Isto inclui a generalização de mapas a determinante unitário positivo bem como a dimensões maiores. Explicou-se como se formam as miniaturas e fantasmas quando se aplica o mapa. Foram obtidos resultados numéricos sobre o período mínimo e o comprimento de período das orbitas. No final são apresentados algumas aplicações práticas do mapa do gato de Arnold como encriptação ou esteganografia.

Referências

- [1] Fredrik Svanström, *Properties of a generalized Arnold's discrete cat map*, 2014,
<http://www.diva-portal.org/smash/record.jsf?pid=diva2%3A725545&dswid=-2366>
- [2] Jens Marklof, *Cat Map*,
<https://people.maths.bris.ac.uk/~majm/bib/catmap.ps>
- [3] Geon Ho Choe, *Computational ergodic theory*, 2005,
<http://www.ams.org/journals/bull/2007-44-01/S0273-0979-06-01120-7/S0273-0979-06-01120-7.pdf>
- [4] Freeman J. Dyson and Harold Falk, *Period of a Discrete Cat Mapping*, 1992,
<http://www.jstor.org/stable/2324989>
- [5] Gabriel Peterson, *Arnold's Cat Map*, 1997,
<https://pdfs.semanticscholar.org/edf4/23832801f51bdf3170cf64033913bac7ae2a.pdf>
- [6] Joe Nance, *Periods of the discretized Arnold's Cat Mapping and its extension to n-dimensions*, 2011,
<https://arxiv.org/abs/1111.2984v1>